



БИООРГАНИЧЕСКАЯ ХИМИЯ

том 13 * № 2 * 1987

УДК 577.113.4

ВЗАЙМОДЕЙСТВИЕ ФОРМАЛЬДЕГИДА С НУКЛЕИНОВЫМИ КИСЛОТАМИ И ИХ СТРУКТУРНЫМИ КОМПОНЕНТАМИ В ПРИСУТСТВИИ АМИНОВ

III.* ОБРАЗОВАНИЕ ТРИЦИКЛИЧЕСКИХ 1,2-N-АДДУКТОВ 9-ЗАМЕЩЕННЫХ ГУАНИНОВ В РЕАКЦИИ С ФОРМАЛЬДЕГИДОМ И ПЕРВИЧНЫМИ АМИНАМИ

Волков В. С., Поверенный А. М., Свердлов Е. Д.*

Институт медицинской радиологии Академии медицинских наук СССР,
г. Обнинск Калужской обл.;

*Институт биоорганической химии им. М. М. Шемякина Академии наук СССР, Москва

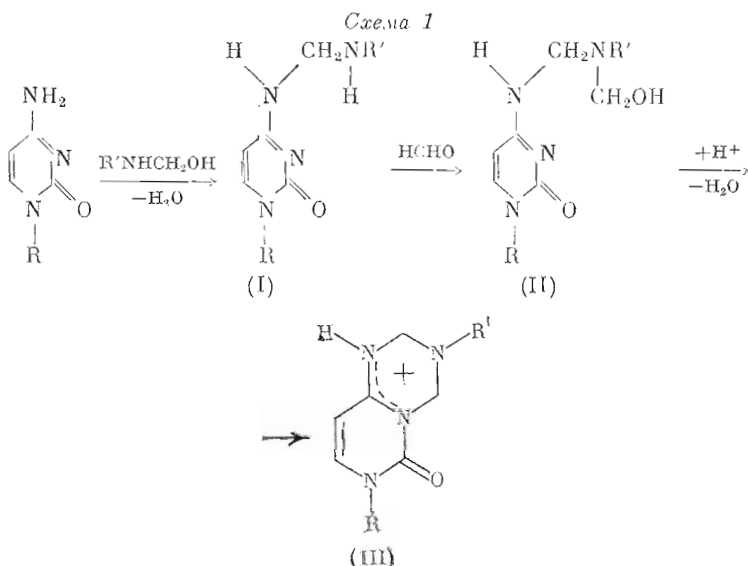
Взаимодействием 9-метилгуанина с формальдегидом и метиламином с высоким выходом в кристаллическом виде получен 5-гидроксиметил-3,7-диметил-5,6,7,8-тетрагидро[1,3,5]триазиног[1,2-*a*]пурин-10(3*H*)-он (IV), строение которого установлено на основании данных ^1H -ЯМР- и УФ-спектров. В водных растворах продукт (IV) гидролизуется до исходного 9-метилгуанина, тогда как в безводных средах и в твердом виде устойчив. Сравнение УФ-спектра производного (IV) со спектрами модифицированных 9-метилгуанина и гуанозина, регистрируемых в водных растворах, содержащих HCHO и первичные амины (MeNH_2 , глицин, β -аланин), свидетельствует об образовании 1,2-N-циклоаддуктов (VII) в качестве основного продукта реакции в начальные сроки обработки. При длительной инкубации, по-видимому, устанавливается равновесие между соединениями (IV) и (VII). Циклоконденсация, в которой смесь HCHO и первичного амина проявляет свойства бифункционального реагента, описывается схемой реакции Манниха.

Основными продуктами взаимодействия HCHO с ДНК, РНК и их структурными компонентами являются лабильные N-гидроксиметильные производные по имино- и аминогруппам пуринов и пиримидинов [2–7]. При длительных сроках обработки происходит образование N,N'-бисметиленовых связей, стабильных в физиологических условиях [2, 8]. Есть сведения о том, что при действии HCHO на нуклеиновые кислоты может идти спонтанное метилирование аминогруппы аденина [9]. Исследования модификации нуклеиновых кислот HCHO в присутствии первичных аминов, т. е. в условиях реакции Манниха, еще больше расширяет сферу реакций, которые следует учитывать при рассмотрении механизма взаимодействия HCHO с нуклеиновыми кислотами на клеточном уровне. В частности, были описаны: ускорение расплетения двухспиральной ДНК [10–12] и модификация мономерных компонентов нуклеиновых кислот [10, 13, 14], строго специфическая реакция расщепления N-гликозидной связи в дезоксирибозильных производных аденина [15–17], модификация по гуаниновым звеньям в составе двухспиральной ДНК без ее денатурации [18].

Есть основания считать, что перечисленные реакции нуклеиновых кислот с HCHO и первичными аминами являются результатом конденсации нуклеинового основания с так называемыми моно- или диметилольными производными алифатического амина RNHCH_2OH или $\text{RN}(\text{CH}_2\text{OH})_2$ с образованием оснований Манниха. В применении к нуклеиновым кислотам наиболее важными представляются следующие аспекты реакций аминометилирования гетероциклических соединений по Манниху (см. обзор [19]): возможность модификации по различным реакционным центрам гетероцикла (атомы углерода, азота и кислорода), различные продукты аминометилирования первичными и вторичными аминами, важная роль стерических факторов при аминометилировании пер-

* Сообщение II см. [1].

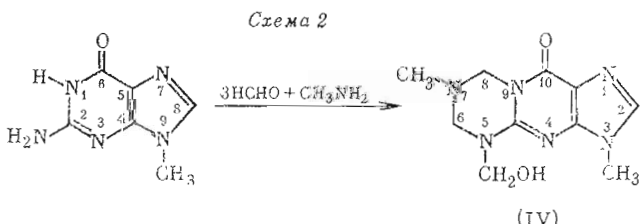
личными аминами. Вывод об образовании продуктов с различной структурой при модификации нуклеиновых кислот HCHO в смеси с первичным или вторичным аминами следует из изучения УФ-спектров модифицированных аденина и производных цитозина [20]. Об этом же свидетельствует отсутствие дестабилизирующего действия смеси HCHO с вторичными аминами на гликозидную связь в дезоксиаденозине [20]. Различие между первичными и вторичными аминами для случая цитидина, вероятно, заключается в том, что при его реакции с HCHO и первичным амином может образовываться циклоаддукт (III) через промежуточные соединения (I) и (II) (схема 1) [20]. Этот продукт, естественно, не может образовываться при аминометилировании в присутствии вторичных аминов.



R – остаток рибозы, R' – алкил

Выделение продуктов модификации в кристаллическом виде позволило на примере реакции аденина с HCHO и MeNH_2 доказать образование новых циклоаддуктов типа (III) [1]. В данной работе установлена структура выделенного продукта реакции 9-метилгуанина с HCHO и MeNH_2 и рассмотрено возможное строение продуктов модификации 9-метилгуанина в водных растворах.

Проведением реакции 9-метилгуанина с избытками HCHO и MeNH_2 в водном растворе в препаративном масштабе с выходом 65% в кристаллическом виде получено соединение, строение которого на основании данных ^1H -ЯМР- и УФ-спектров может быть представлено формулой (IV) (схема 2).



Из данных ^1H -ЯМР-спектра выделенного соединения (рис. 1) следует, что при реакции 9-метилгуанина с HCHO и MeNH_2 не затрагивается протон при C8-атоме и происходит замещение всех трех протонов NH-групп на одну HOCH_2 -группу и $\text{CH}_2\text{N}(\text{CH}_3)\text{CH}_2$ -мостик. Так, паряду с сигналами исходных протонов H8 (синглет, 7,74 м.д.) и N9-CH₃-группы (синглет,

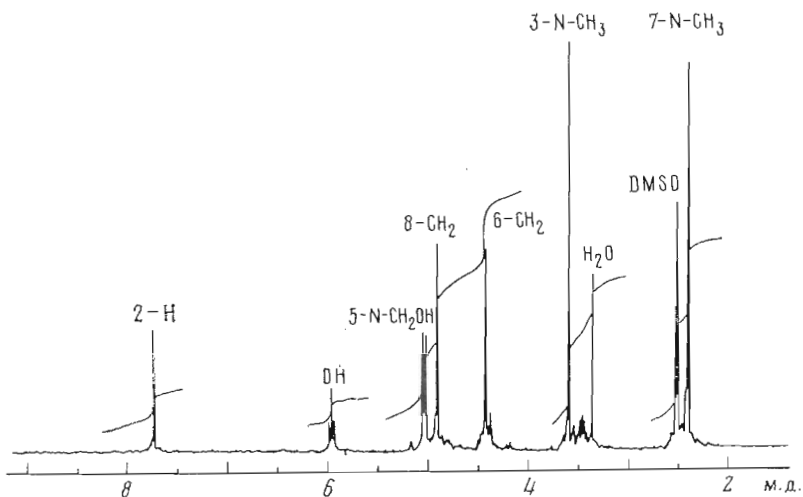


Рис. 1. Спектр ^1H -ЯМР (300 МГц) соединения (IV) в дейтеродиметилсульфоксиде

3H , 3,59 м.д.) имеются сигналы двух изолированных метиленовых групп (два синглета, 2H , 4,42 и 4,90 м.д.) и одной NCH_3 -группы (синглет, 3H , 2,40 м.д.), свидетельствующие о наличии в соединении $\text{CH}_2\text{N}(\text{CH}_3)\text{CH}_2$ -группировки между различными гетероатомами. Дублет (2H) при 5,04 м.д. и триплет (1H) при 5,96 м.д. говорят о существовании в этом соединении HOCH_2 -группы, связанной с гетероатомом.

Данные ^1H -ЯМР-спектра ясно указывают на отсутствие замещения по $\text{N}7$. Этот вывод следует из положения сигнала имидазольного протона $\text{H}8$ при 7,74 м.д., поскольку в 7,9-диалкилгуанинах сигнал этого протона находится в гораздо более слабом поле (свыше 9,4 м.д.) [21, 22]. Отсутствие модификации по $\text{N}7$ - и $\text{N}3$ -атомам азота следует также из стабильности N -гликозидной связи продуктов реакции 2-дезоксигуанозина с HCHO и первичными аминами [16, 17, 20], так как известно, что алкилирование дезоксирибозильных производных гуанина и аденина по атомам азота $\text{N}7$ и $\text{N}3$ вызывает значительное ослабление гликозидных связей и уже в мягких условиях приводит к выщеплению аденина и гуанина из полинуклеотидной цепи [23].

Отсутствие модификаций по атомам азота $\text{N}3$ и $\text{N}7$ позволяет подтвердить структуру (IV) сравнением УФ-спектра выделенного соединения (рис. 2, спектр 4) со спектрами известных гуанозинов, алкилированных по имино- и аминогруппам, а также по $\text{O}6$ -атому. Так, значительное отличие УФ-спектра полученного соединения (вода, рН 7: λ_{\max} 260,5 нм, λ_{\min} 230,5 нм) от спектров 6-О-алкил-2'-дезоксигуанозинов (вода, рН 7: λ_{\max} 248 и 281 нм, λ_{\min} 261 нм) [24] свидетельствует против алкилирования по оксогруппе. Наряду с этим замещению трех атомов водорода имино- и аминогрупп 9-метилгуанина соответствует значение λ_{\max} 260,5 нм. Эта величина близка к ожидаемому значению λ_{\max} для УФ-спектра 1,2- $\text{N},2\text{-N},9$ -тетраалкилгуанина (~ 260 нм), рассчитанному нами с учетом влияния моно- и дизамещения по имино- и аминогруппам гуанозина на батохромный сдвиг максимума поглощения в УФ-спектре. Действительно,mono-алкилирование гуанозина (вода, рН 7: λ_{\max} 252 нм) по имино- или аминогруппам приводит к смещению λ_{\max} на 4 или 1 нм соответственно, а для 1,2- N -диалкилгуанозина смещение равно 6 нм, что на 1 нм выше аддитивного эффекта замещения. Так, УФ-спектры 2- N -метилгуанозина и 2- N -гидроксиметил-2'-дезоксигуанозина [7] характеризуются значением λ_{\max} 253 нм, для 1-алкилгуанозинов 256 нм, а в случае 1,2- N -диметилгуанозина [25] и трициклического 1,2- N -пропаногуанозина [26] λ_{\max} равен 258 нм. Продолжив эту аналогию на 1,2- $\text{N},2\text{-N}$ -триалкилгуанозин, получаем ожидаемое значение λ_{\max} для производного (IV) ~ 260 нм, что близко к экспериментальным данным.

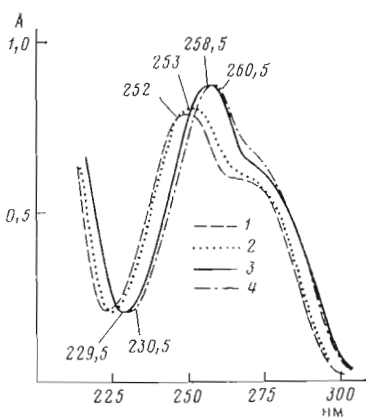


Рис. 2

Рис. 2. УФ-спектры (0,1 М натрий-фосфатный буфер, pH 7,0; 30° С) 9-метилгуанина (1); его же в 0,3 М растворе HCHO через сутки инкубации (2); его же в 0,3 М HCHO и 0,1 М MeNH₂ через 12 мин инкубации (3); выделенного продукта (IV) в 0,3 М HCHO (4)

Рис. 3. Зависимость от pH наблюдаемой константы скорости гидролиза (IV) в 9-метилгуанине при 40° С в буфере: pH 2–6 – цитратный, 6–8 – фосфатный, 8–12 – карбонатный

Таким образом, данные ¹H-ЯМР- и УФ-спектров, а также отсутствие расщепления N-гликозидной связи в 2-дезоксигуанозинах в условиях реакции Манниха свидетельствуют, что строение выделенного продукта реакции 9-метилгуанина с HCHO и MeNH₂ должно быть представлено формулой (IV).

Соединение (IV) в твердом виде и его раствор в диметилсульфоксиде при хранении на холода (-10°C) были устойчивы в течение года (срок наблюдения). В то же время в водных растворах производное (IV) довольно быстро гидролизуется, регенерируя исходные реагенты. После полного гидролиза образование 9-метилгуанина идентифицировали по УФ-спектру при различных значениях pH, при этом количественное определение свободного HCHO в том же растворе показывает, что исчезающий гидролиз соединения (IV) в соответствии с установленной структурой приводит к 3 моль HCHO на 1 моль 9-метилгуанина. Представляло интерес выявить те закономерности реакции гидролиза аддукта (IV), на основании которых можно судить о механизме модификации. Сложная кинетика изменений УФ-спектра производного (IV) в ходе гидролиза свидетельствует о протекании нескольких реакций. В диапазоне pH 2–6 общая скорость гидролиза соединения (IV) незначительно зависит от концентрации ионов водорода, но при переходе от слабокислых к щелочным значениям pH быстро возрастает (рис. 3). Эти данные позволяют считать, что гидролиз производного (IV) идет по механизму основного катализа. В растворах, содержащих MeNH₂, гидролиз аддукта (IV) также ускоряется, но в присутствии HCHO гидролиз идет много медленнее. Так, УФ-спектр соединения (IV), растворенного в 0,1–0,3 М HCHO, сохраняется неизменным в течение нескольких часов. В MeOH продукт (IV) также устойчив в течение длительного времени, при этом регистрируемый УФ-спектр аналогичен его спектру в 0,3 М HClO. Такой же УФ-спектр наблюдается при растворении производного (IV) в растворе HClO с MeNH₂, т. е. в условиях модификации.

Высокая лабильность соединения (IV) в водных растворах, значительное влияние HCHO и MeNH₂ на скорость гидролиза, а также ранее проведенные исследования модификации рибозильных производных гуанина в условиях реакции Манниха (HCHO и аминокислоты) [13, 18, 27] показывают, что образование аддукта (IV) происходит в результате целого комплекса реакций. (В их число входят реакции HCHO с аминами, описываемые довольно сложной системой уравнений [27, 28]. Кроме того, аминометилирование по Маннihu в зависимости от условий может

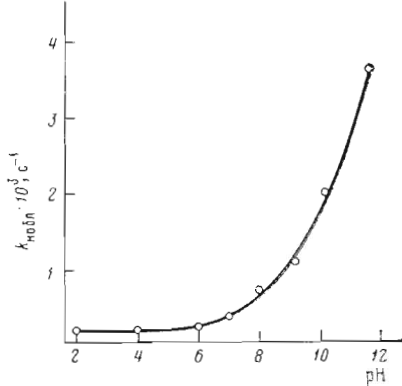
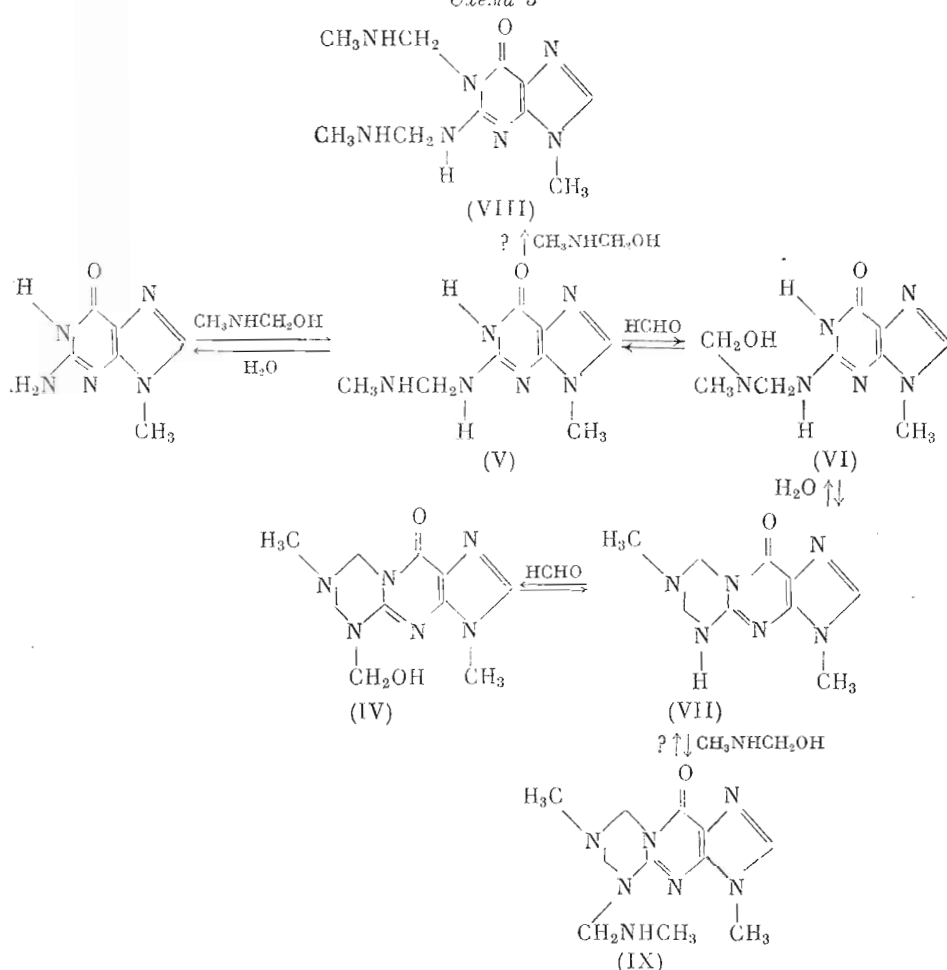


Рис. 3

осуществляются различными продуктами взаимодействия HCHO с аминами [19, 29]. Поэтому, как и на схеме 1, ниже в качестве модифицирующего агента условно взят MeNHCH₂OH.) Наиболее вероятный путь образования соединения (IV) представлен на схеме 3.

Схема 3



Представленная схема суммирует принципиально две разные реакции: 1) циклоконденсацию с образованием производного (VII) по механизму реакции Манниха; 2) гидроксиметилирование аддукта (IV) с образованием соединения (IV) как результат присоединения HCHO по ароматической аминогруппе. Эти реакции должны идти в указанной последовательности, так как гидроксиметилирование аминогруппы гуанина, как и других нуклеиновых оснований в реакции с одним HCHO [3, 7], протекает много медленнее реакций модификации при действии HCHO и первичных аминов [10–16]. Понятно, что используемые пами условия preparativного синтеза (высокие концентрации реагентов, длительность обработки) способствуют смещению равновесия всех реакций в сторону образования продукта (IV). В то же время совсем не очевидно, что именно соединение (IV) с его 5-гидроксиметильной группой, а не производное (IX), например, будет конечным продуктом модификации 9-метилгуанина при реакции с HCHO и MeNH₂ в растворе при более мягких условиях и небольших сроках обработки, которые типичны для цитируемых работ [10–16, 18, 27]. В этой связи возникают вопросы: адекватно ли последовательность (V) \rightleftharpoons (VII) \rightleftharpoons (IV) (схема 3) отражает общий ход модификации 9-метилгуанина в условиях реакции Манниха, и применима ли эта схема для модификации рибозильных производных гуанина, а также остатков гуанина в составе ДНК?

В связи с возникшими вопросами рассмотрим изменения УФ-спектра 9-метилгуанина, наблюдаемые при действии одного НСНО, а также в условиях реакции Манниха с диметиламином и Me_2NH_2 (условия см. в подписи к рис. 2). Не обсуждая деталей, выделим самый важный результат: как при действии одного НСНО, так и смеси НСНО с Me_2NH после завершения реакций регистрируемые УФ-спектры в обоих случаях подобны и имеют одинаковое значение $\lambda_{\text{макс}}$ 253 нм, что говорит о монозамещении по аминогруппе. Замена Me_2NH на MeNH_2 в корне меняет характер модификации так, что уже через 12 мин после начала обработки регистрируется УФ-спектр с $\lambda_{\text{макс}}$ 258,5 нм и $\lambda_{\text{мин}}$ 229,5 нм (рис. 2, спектр 3), характерный для 1,2-N-дизамещенных гуанозинов [25, 26]. При дальнейшей инкубации последующие изменения параметров УФ-спектра незначительны и не достигают соответствующих значений для УФ-спектра аддукта (IV). Результатирующий УФ-спектр с $\lambda_{\text{макс}}$ 259,5 нм и $\lambda_{\text{мин}}$ 230,0 нм является промежуточным между спектрами выделенного соединения (IV) ($\lambda_{\text{макс}}$ 260,5 нм, $\lambda_{\text{мин}}$ 230,5 нм) и продукта модификации, образующегося в растворе через 12 мин реакции ($\lambda_{\text{макс}}$ 258,5 нм, $\lambda_{\text{мин}}$ 229,5 нм). Так какmonoалкилирование по аминогруппе гуанозина характеризуется незначительным смещением $\lambda_{\text{макс}}$ и $\lambda_{\text{мин}}$ (рассмотрено выше), различия между этими тремя спектрами в пределах 2 нм в первую очередь свидетельствуют о различной степени замещения по аминогруппе. Эти данные не противоречат ходу модификации по схеме 3. Действительно, УФ-спектр с $\lambda_{\text{макс}}$ 258,5 нм — серьезный довод в пользу образования 1,2-N-дизамещенного 9-метилгуанина, а таковыми могут быть циклоаддукт (VII) или нециклический аддукт (VIII). Однако формула (VIII) не может объяснить принципиально различную реакционную способность MeNH_2 и Me_2NH . Поэтому УФ-спектр с $\lambda_{\text{макс}}$ 258,5 нм следует трактовать в пользу образования трициклического аддукта (VII), по не соединения (VIII). Также можно считать, что производное (VII) является основным продуктом в первые 12 мин обработки, поскольку реакцией 2-N-гидроксиметилирования, идущей в тех же условиях в течение нескольких часов, за это время можно пренебречь. Последующие медленные и небольшие изменения УФ-спектра, по-видимому, связаны с замещением по аминогруппе и установлением равновесия (VII) \rightleftharpoons (IV). Возможно, наряду с реакцией гидроксиметилирования соединения (VII) в производное (IV) также идет аминометилирование аддукта (VII) с образованием производного (IX). Однако образование значительных количеств соединения (IX) все же менее вероятно, так как именно продукт (IV) выделен из реакционной смеси, а для реакции аминометилирования следовало бы ожидать высокую скорость реакции в пределах нескольких минут, а не многих часов, как наблюдается. В пользу реакции (IV) \rightleftharpoons (VII), но не (VII) \rightleftharpoons (IX) также свидетельствует очень медленное смещение $\lambda_{\text{макс}}$ с 260,5 до 259,5 нм, регистрируемое при растворении соединения (IV) в 0,3 М растворе НСНО, поскольку НСНО не должен препятствовать ретрореакции производного (IX) с образованием соединения (VII) со сдвигом $\lambda_{\text{макс}}$ с 260,5 до 258,5 нм. Из схемы 3 понятно, что в достаточно больших концентрациях НСНО будет подавлять ретрореакцию Манниха аддукта (VII), приводящую к исходному 9-метилгуанину или его 2-N-гидроксиметильному производному. Такой подход объясняет высокую стабильность продуктов (IV) и (VII) в растворах с концентрацией НСНО, равной 0,1–0,3 М.

Итак, изменения УФ-спектра 9-метилгуанина в ходе модификации в растворе, содержащем НСНО и MeNH_2 в концентрациях 0,3 и 0,1 М соответственно, свидетельствуют о протекании быстрой реакции циклоинденсации с образованием аддукта (VII) и последующем медленном установлении равновесия (VII) \rightleftharpoons (IV). Из рис. 4 следует, что заместитель при атоме азота N9 не оказывает существенного влияния на ход модификации, поскольку обработка 9-метилгуанина и гуанозина НСНО в смеси с MeNH_2 в одних и тех же условиях приводит к продуктам с очень близкими УФ-спектрами. Аналогичные УФ-спектры при сравнимых скоростях реакций были получены, когда 9-метилгуанин и гуанозин обрабатывали НСНО и аминокислотами (глицин, β -аланин, спектры не приво-

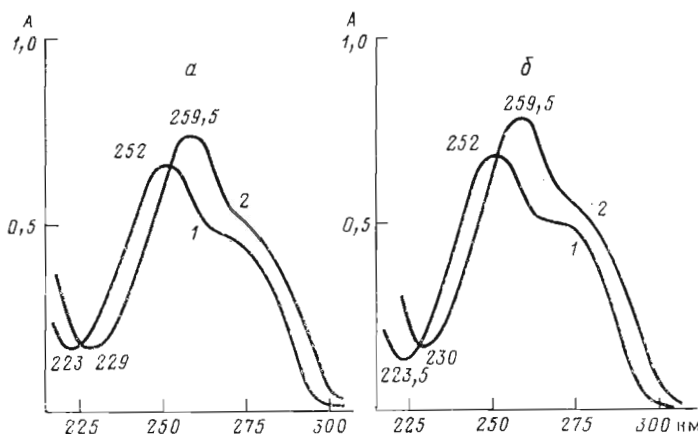


Рис. 4. УФ-спектры гуанозина (*а*) и 9-метилгуанина (*б*), регистрируемые в 0,1 М натрий-фосфатном буфере при pH 7,0 без обработки (1), в 0,3 М HCHO и 0,1 М MeNH₂ через 16 ч обработки при pH 7,0 и 30° С (2) (спектр 9-метилгуанина через 12 мин обработки в этих же условиях приведен на рис. 2, спектр 3)

дятся). Подобные УФ-спектров во всех этих случаях свидетельствует о том, что модификация 9-замещенных гуанинов при действии HCHO и первичных аминов при используемых ими концентрациях, вероятно, идет по схеме 3 с образованием циклоаддуктов (IV) и (VII). По аналогии следует ожидать, что модификация остатков гуанина в составе полинуклеотидной цепи также может идти по этой схеме. Однако последний процесс представляет собой особый случай, так как модификация полинуклеотидов связана с возрастающей ролью стерических факторов и возможным изменением направления реакций.

В заключение отметим, что представленные данные наряду с предыдущими исследованиями модификации аденина [1] и производных цитидина [20] свидетельствуют об образовании циклоаддуктов с N,N'-CH₂N(R)CH₂-мостиком как типичном направлении модификации нуклеиновых кислот при действии HCHO и RNH₂.

ЭКСПЕРИМЕНТАЛЬНАЯ ЧАСТЬ

В работе использовали 9-метилгуанин (Fluka, Швейцария), гуанозин (Calbiochem, США), 37% водный раствор HCHO, стабилизированный метанолом (Merck, ФРГ), 40% водный раствор MeNH₂, приготовленный из его хлоргидрата (Союзреактив), глицин и β-аланин (Reanal, ВНР). Все реагенты использовали без дополнительной очистки. Спектры ¹H-ЯМР снимали на приборе SC 300 (Varian, США) с рабочей частотой 300 МГц, внутренний стандарт — тетраметилсиликан. УФ-спектры записывали на спектрофотометрах SP 8000 или PU 8800 (Rue Unicam, Англия). Концентрацию свободного HCHO в растворе после полного гидролиза (IV) определяли реакцией Ганча с ацтил-акетоном [30].

Получение 5-гидроксиметил-3,7-диметил-5,6,7,8-тетрагидро[1, 3, 5]триазино[1, 2-*a*]пурин-10(3Н)-она (IV). К раствору 2,5 мл 37% водного раствора HCHO и 0,33 мл 40% водного раствора MeNH₂ в 7,5 мл дистиллированной воды прибавляли 75 мг 9-метилгуанина. Смесь нагревали на водянной бане при 60° С до полного растворения осадка, выдерживали при комнатной температуре в течение 2 ч, концентрировали на роторном испарителе при температуре бани 45–50° С до получения густой пастообразной массы, затем прибавляли 30 мл абсолютного этанола и снова концентрировали. Остаток несколько раз растирали с диэтиловым эфиrom, гелеобразный остаток тщательно экстрагировали абсолютным этанолом. Спиртовой раствор концентрировали до объема 1,5 мл, выдерживали на холода (-10° С) в течение 2 сут, осадок промывали небольшими количествами холодных этанола и эфира, получили 72 мг соединения (IV), выход 65%, т. пл. 140–142° С. Найдено, %: С 45,24; Н 6,06; N 32,05. C₁₀H₁₄N₆O₂·0,8H₂O. Вычислено, %: С 45,38; Н 5,95; N 31,75.

ЛИТЕРАТУРА

1. Волков В. С., Повереный А. М., Свердлов Е. Д. Молекулярн. биология, 1985, т. 19, вып. 3, с. 693–702.
2. Feldman M. Yu. Prog. Nucl. Acid Res. Mol. Biol., 1973, v. 13, p. 1–49.
3. McGhee J. P., von Hippel P. H. Biochemistry, 1975, v. 14, № 6, p. 1281–1296.
4. McGhee J. P., von Hippel P. H. Biochemistry, 1975, v. 14, № 6, p. 1297–1303.
5. McGhee J. P., von Hippel P. H. Biochemistry, 1977, v. 16, № 15, p. 3267–3276.
6. Hayatsu H., Yamashita Y., Yui S., Yamagata Y., Tomita K., Negishi K. Nuel. Acids Res., 1982, v. 10, p. 6281–6293.
7. Beland E. A., Fullerton N. F., Heflich R. H. J. Chromatogr., 1984, v. 308, p. 121–131.
8. Chaw Yu Fen W., Crane L. E., Lange P., Shapiro R. Biochemistry, 1980, v. 19, № 24, p. 5525–5531.
9. Tyihak E., Szarvas T., Trezal L. Proc. 19th Hung. Meet. Biochem. Budapest, 1979, p. 29–31.
10. Симонов В. В., Семин Ю. А., Симонов С. И., Повереный А. М. Биохимия, 1974, т. 39, вып. 3, с. 527–532.
11. Siomin Yu. A., Simonov V. V., Poverenny A. M. Biochim. et biophys. acta, 1973, v. 331, p. 27–32.
12. Хулордабаев К. Г., Косаганов Ю. Н., Зарудная М. И., Лазуркин Ю. С., Семин Ю. А., Повереный А. М. Молекулярн. биология, 1977, т. 11, вып. 4, с. 826–832.
13. Хулордабаев К. Г., Косаганов Ю. Н., Лазуркин Ю. С. Молекулярн. биология, 1978, т. 12, вып. 6, с. 1390–1407.
14. Семин Ю. А., Коломыйцева Е. Н., Повереный А. М. Молекулярн. биология, 1974, т. 8, вып. 2, с. 276–285.
15. Семин Ю. А., Коломыйцева Е. Н., Повереный А. М. Биоорганическая химия, 1975, т. 1, № 3, с. 317–327.
16. Коломыйцева Е. Н., Семин Ю. А., Повереный А. М. Молекулярн. биология, 1978, т. 12, вып. 6, с. 1231–1238.
17. Sverdlov E. D., Monastyrskaya G. S., Poverenny A. M., Siomin Yu. A., Kolomyitseva E. N. FEBS Lett., 1979, v. 108, № 2, p. 427–429.
18. Семин Ю. А., Волков В. С., Протасова Н. А., Повереный А. М. Молекулярн. биология, 1981, т. 15, вып. 6, с. 1303–1314.
19. Tramontini M. Synthesis, 1973, p. 703–775.
20. Волков В. С., Повереный А. М., Свердлов Е. Д. Молекулярн. биология, 1983, т. 17, вып. 6, с. 1318–1323.
21. Montgomery J. A., Hewson K., Clayton S. J., Thomas H. J. J. Org. Chem., 1966, v. 31, № 7, p. 2202–2210.
22. Fujii T., Tanaka F., Mohry K., Itaya T., Suito T. Tetrahedron Lett., 1973, № 49, p. 4873–4876.
23. Кочетков Н. К., Будовский Э. И., Свердлов Е. Д., Симукова Н. А., Турчинский М. Ф., Шибаев В. Н. Органическая химия нуклеиновых кислот. М.: Химия, 1970, с. 495–499.
24. Farmer P. B., Foster A. B., Jarman M., Tisdale M. J. Biochem. J., 1973, v. 135, № 2, p. 203–213.
25. Yamazaki A., Kumashiro I., Takenishi T. Chem. Pharm. Bull., 1968, v. 16, № 8, p. 1561–1566.
26. Chung F.-L., Young R., Hecht S. S. Cancer Res., 1984, v. 44, p. 990–995.
27. Шепелев В. А., Косаганов Ю. Н., Лазуркин Ю. С. Биоорганическая химия, 1982, т. 8, № 5, с. 686–693.
28. Kallen R. G., Jencks W. P. J. Biol. Chem., 1966, v. 241, № 24, p. 5864–5878.
29. Thompson B. B. J. Pharm. Sci., 1968, v. 57, p. 745.
30. Nash T. Biochem. J., 1953, v. 55, № 3, p. 416–420.

Поступила в редакцию
19.V.1986

INTERACTION OF FORMALDEHYDE WITH NUCLEIC ACIDS AND THEIR STRUCTURAL COMPONENTS IN THE PRESENCE OF AMINES. III. FORMATION OF TRICYCLIC 1,2-N-ADDUCTS OF 9-SUBSTITUTED GUANINES IN THE REACTION WITH FORMALDEHYDE AND PRIMARY AMINES

VOLKOV V. S., POVERENNY A. M., SVERDLOV E. D.*

Scientific Research Institute of Medical Radiology,
Obninsk, Kaluga Region:

*M. M. Shemyakin Institute of Bioorganic Chemistry, Academy
of Sciences of the USSR, Moscow

Reaction of $m^9\text{Gua}$ with HCHO and MeNH_2 in aqueous solution led to crystalline 5-hydroxy-3,7-dimethyl-5,6,7,8-tetrahydro[1,3,5]triazino[1,2-*a*]purine-10(3*H*)-one (IV) with the yield 65%; its structure have been elucidated on the basis of $^1\text{H-NMR}$ and UV data. Compound (IV) was stable in anhydrous solvents and in solid state, but rapidly hydro-

lyzed in aqueous solution to give the original m^9 Gua, HCHO, and MeNH₂. UV studies of neutral solution of m^9 Gua in 0.3 M HCHO and 0.1 M MeNH₂ reveals that compound (IV) is formed through two different reactions. At first, fast cyclocondensation occurs within 10–15 min yielding 1,2-N-cycloadduct (VII) with a CH₂N(CH₃)CH₂ bridge between exocyclic amino and cyclic imino groups followed by hydroxymethylation of amino group (VII). The second reaction, which is much slower (a few hours), establishes equilibrium between compounds (IV) and (VII). Interaction of m^9 Gua and Guo with another primary amines (butylamine, glycine, β -alanine) under the same conditions leads to the same UV spectra, as in the case of MeNH₂. It indicates that reaction of 9-substituted guanines with HCHO and primary amines gives products similar to (IV) and (VII). The cycloaddition, in which mixture of formaldehyde and primary amines show properties of a bifunctional reagent, may be depicted by the scheme of the Mannich reaction.